

Biblio : Diffact optique

Sextant

Tauillet, optique Uq.

Rapports jury :

[2009] "La diffraction de Fraunhofer est souvent évoquée sans que ses conditions d'obtention soient bien connues. Rappelons que les phénomènes de diffraction peuvent s'observer avec d'autres sources lumineuses que des lasers."

[2008] "Dans toute expérience d'optique, les figures sont de bien meilleure qualité quand les appareils sont convenablement alignés. Ce fut tout particulièrement le cas pour ces deux montages."

[2007] "Il ne suffit pas de présenter des expériences du niveau de la classe de seconde. Il existe d'autres sources lumineuses que les sources laser."

[2005] "Il est souhaitable de ne pas se limiter aux sources lasers."

[2004] "Dans ces montages, les mesures de largeurs de fentes mal calibrées, ou dont la largeur est donnée de manière indicative (sans indication de précision), ne peuvent pas constituer le thème central de l'étude. Il serait illusoire d'espérer déterminer avec une précision satisfaisante la longueur d'onde d'un laser He-Ne à partir de l'analyse de la figure de diffraction par une fente, même calibrée. L'utilisation de montages avec réseaux doit être mieux maîtrisée, en évitant de confondre angles et déviations par rapport à l'ordre zéro. Les conditions de Fraunhofer, plus larges que la simple 'n diffraction à l'infini' yz, gagneraient à être connues."

Dans les expériences de filtrage spatial de type passe-haut, l'utilisation d'objets de phase serait certainement plus pertinente que celle d'une plume.

[2000] "La diffraction est certes un phénomène gênant, mais pas uniquement : le principe de fonctionnement d'instruments comme les réseaux optiques repose sur son existence. L'optique diffractive prend de plus en plus d'importance industrielle."

[1999] "Le passage de la diffraction de Fresnel à celle de Fraunhofer peut donner lieu à une estimation quantitative des conditions à remplir."

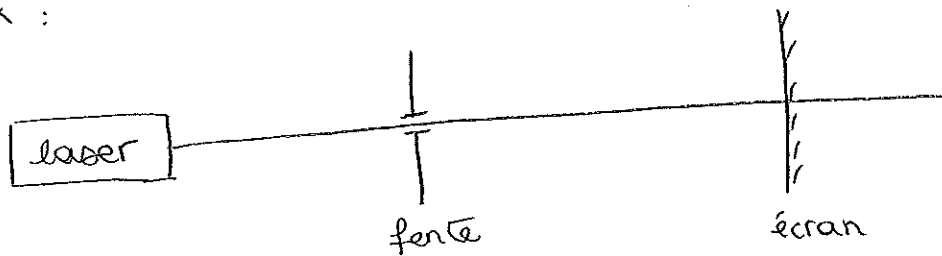
[1997] "On doit pouvoir donner le critère quantitatif de la limite entre l'approximation de Fresnel et celle de Fraunhofer. Le filtrage en éclairage incohérent a aussi des applications."

[1994] "La stroboscopie est rarement montrée dans de bonnes conditions. Tout comme la réussite des expériences de birefringence, la conduite de cette expérience exige une certaine maîtrise théorique du sujet."

Introduction.

Qd un rayon lum. tombe sur des obstacles de petites taille on observe des phénomènes qui ne sont pas expliqués par l'optique géométrique

Par ex :



Que pense-t-on voir ? \rightarrow 1 tache

\hookrightarrow on observe en fait q. la répart° de l'intensité lumineuse présente une structure inattendue

\Rightarrow LA DIFFRACTION.

Il en existe 2 types :

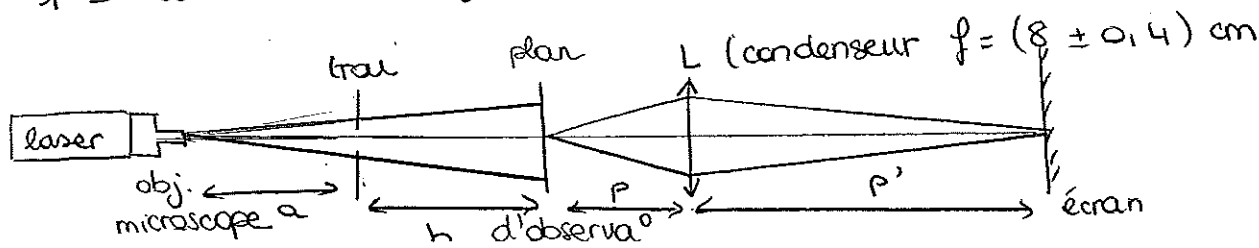
- * diffrac° de Fresnel ou diffrac° "finie"
 - * diffrac° de Fraunhofer ou diffrac° à l'infini
- \hookrightarrow cas particulier

\Rightarrow on va étudier ces 2 types -

I. Diffraction de Fresnel. (p. 59 Duffait)

1. Montage.

+ 1ère idée \rightarrow objet à dist. finie.



On observe les taches de diffraction A L'INTERIEUR de l'image géométrique.

2- zones de Fresnel

Image: cercles concentriques alternativement sombres et lumineux $\hat{=}$ interférences constructives / destructives

\rightarrow on les appelle zones de Fresnel

Manip: on déplace L \rightarrow alternance de centres noirs / rouges
 $\hat{=}$ crée / disparaît. (selon le sens de déplacement)
d'anneaux.

$$\text{D'après la théorie: } \frac{1}{b} = \frac{k\lambda}{p^2} - \frac{1}{a}$$

où k : nb de zones de Fresnel

p : rayon de l'averture

a : dist. source - objet diffractant

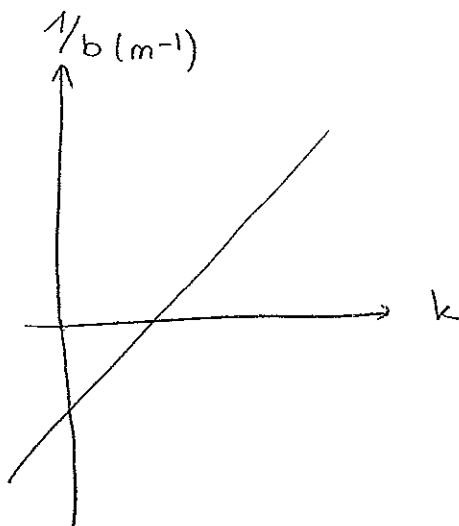
on veut vérifier expérimentalement cette loi.

- mesurer la distance L - écran et trou - L
- compter le nombre de zones de Fresnel visibles (centre compris)
- En appliquant la formule de conjugaison

$$\text{à L: } \frac{1}{p'} - \frac{1}{p} = \frac{1}{f}$$

$$\Rightarrow p = \frac{p' \cdot f}{f - p'} \quad \Rightarrow \quad b = \text{dist (trou - lentille)} - p$$

(4)



Régression linéaire:

$$\left(\frac{1}{b}\right) = ck + d$$

$$\text{or } c = \frac{\lambda}{p^2} \quad d = -\frac{1}{a}$$

Mesure faite : en live $\begin{cases} b + p = \\ p' = \\ \lambda = 632,8 \text{ nm} \end{cases}$

$$p = \frac{p' \cdot f}{f - p'} \quad \text{avec} \quad f = 8 \text{ cm.}$$

$$p = \Rightarrow b = -p =$$

↳ ajouter ce pt sur la courbe.

↳ on obtient l'équation : $\left(\frac{1}{b}\right) = k +$

$$\Rightarrow c = = \frac{\lambda}{p^2}$$

$$\Rightarrow \boxed{p =} \quad (\text{p indiqué = })$$

II - De Fresnel à Fraunhofer : nombre de Fresnel [Sextant p. 141]

1. Nombre de Fresnel

ds l'intro on a dit : 2 types de diffraction

taillot pour phénomènes

→ à distance finie

→ à "l'infini"

on définit le nombre de Fresnel $F = \frac{a^2}{\lambda D}$ (obtenue

en négligeant certains termes de phase du principe de Huyghens-Fresnel)

ce nb est inversement proportionnel à D donc :

- à dist. finie → $F \sim 1-10$

- à "l'infini" → $F \ll 1$.

Exp. on va faire varier ce nombre en jouant sur la deuxième variable accessible : a

⇒ on part d'un trou "assez large" (utilisé pendant pour diffraction de Fresnel) et on diminue la taille pour voir progressivement la diffraction de Fresnel disparaître pour laisser place à un autre type de diffraction : Fraunhofer.

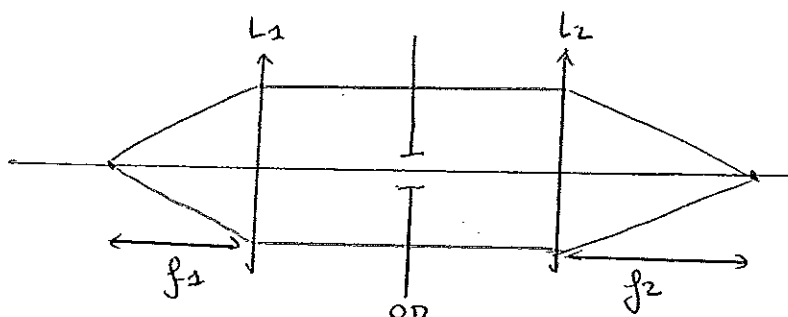
2. Quantification du nb de Fresnel

III. Diffraction de Fraunhofer [Dufait p. 39-40]

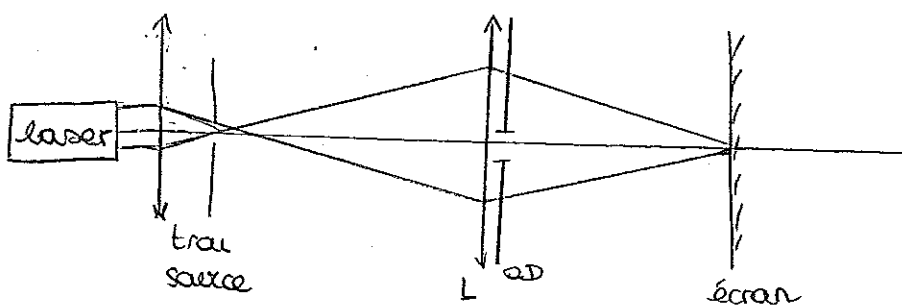
→ cas "particulier" car configuration bien précise. (∞)

1. Montages

on a dit que Fraunhofer s'obtenait pour des distances \approx pour l'objet et l'image. Donc rigoureusement :



Ici on utilise Fraunhofer approché :



2. Propriétés de la figure de diffrac°

* Diffrac° à L'EXTERIEUR de la figure.

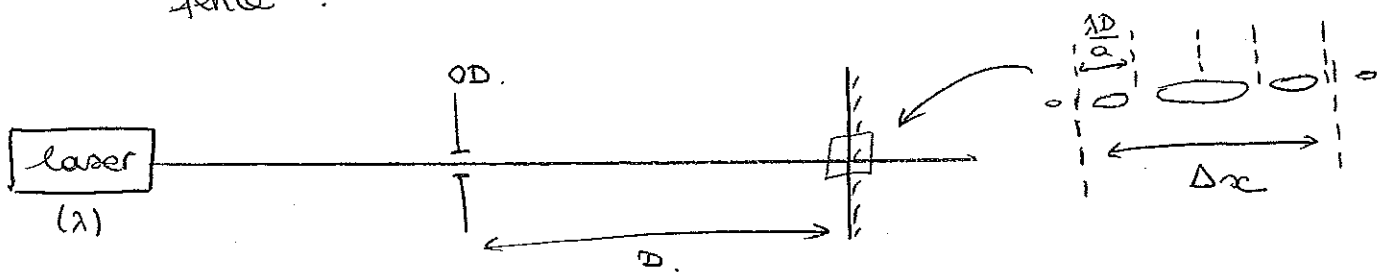
* La figure de diffraction a les propriétés de la TF (car fig.- de diffrac° = TF de la fin de transparence de l'OD)

Manip : - ouvrir plus la fente ($a \uparrow$): \downarrow de la tache centrale et resserrent de la figure. Si on la referme \Rightarrow étaleent

\Rightarrow correspond au passage de l'espace des dimensions à l'espace de Fourier

- tourner la fente \Rightarrow la figure tourne et s'étale plus sur la direction où la fente est la plus étroite.
 \Rightarrow figure + fente diffractante

3. Utilisation de la diffraction pour déterminer la largeur d'une fente.



$$\Delta x = \frac{4\lambda D}{a} \Rightarrow a = \frac{4\lambda D}{\Delta x}$$

on mesure $D = \pm 0,5 \text{ cm}$

$\Delta x = \pm 1 \text{ mm}$.

$$\frac{\Delta a}{a} = \frac{\Delta \lambda}{\lambda} + \frac{\Delta D}{D} + \frac{\Delta(\Delta x)}{\Delta x} = \frac{\Delta D}{D} + \frac{\Delta(\Delta x)}{\Delta x}$$

o car λ connu

$$\Rightarrow a = \pm$$

IV. Application de la diffraction

1. Critère de Rayleigh. (limite de résolution).

* Montage (amélioré ...).

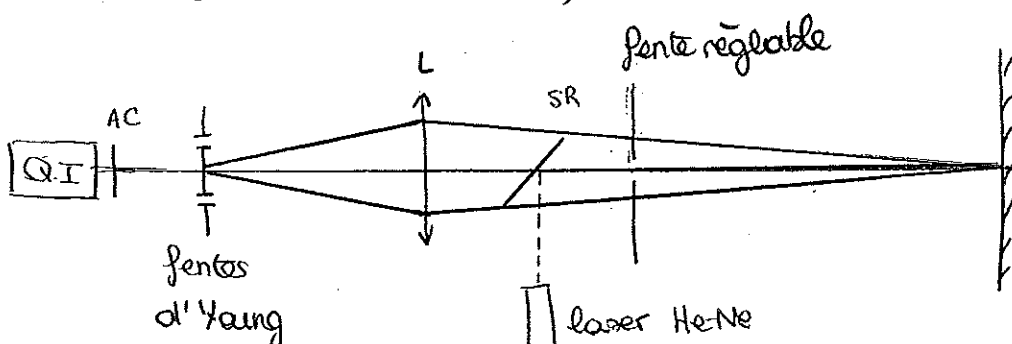
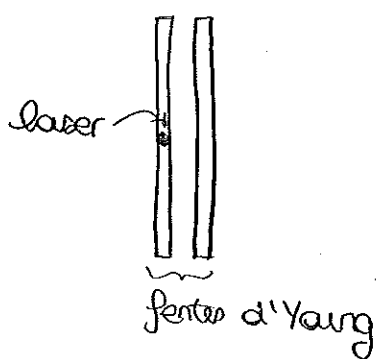
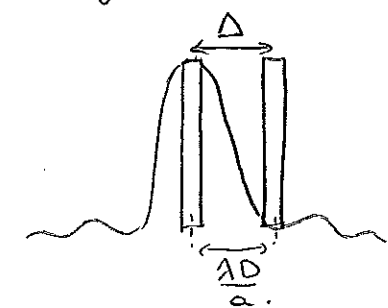


Image formée :



qd on élargit la fente, on observe un brassage de l'image des fente dû à la diffraction.

On peut encore séparer 2 objets tant que le $\lambda_{\text{min.}}$ de la fig. de diffrac° n'a pas dépassé la 2^e fente



Retour manip : qd on a le brassage le premier min. de la figure de diffraction doit tomber sur la deuxième image.

$$\Delta_{\text{exp}} = \frac{\lambda D}{a} = \pm 1 \text{ mm.}$$

avec $\lambda = 543,5 \text{ nm}$

a : ouverture fente

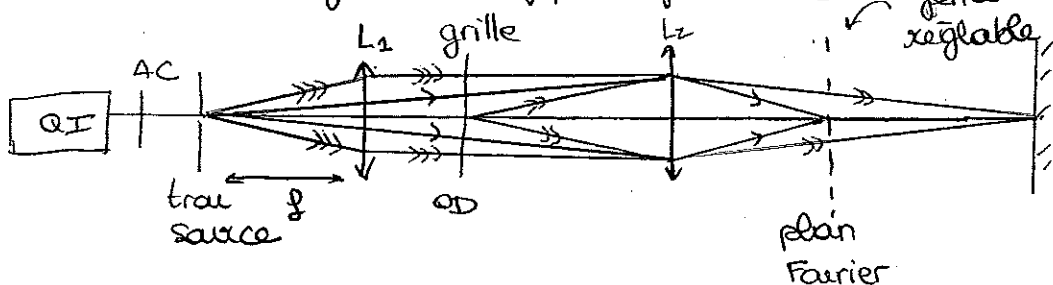
D : dist. objet - écran

$$\Delta^{\text{th.}} = \frac{\lambda D}{a}$$

on peut comparer les 2 valeurs.

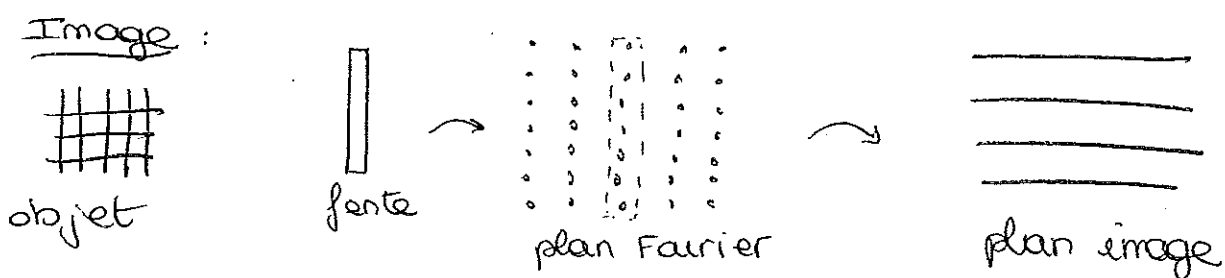
à partir du mom^t où les images se rapprochent de plus de $\frac{\lambda D}{a}$, on pourra les séparer.

2- Filtrage de fce spatiale



Si on met une fente verticale ds le plan de Fourier, ⑨
on ne laisse passer q les composantes verticales de l'espace
de Fourier, soit les composantes horizontales.

De on supprime de l'info que l'on perdra et que
l'on ne pourra pas retrouver dans le plan de l'image.
C'est ds ce plan q l'on fait le filtrage car la figure
de diffraction d'un objet (en condition de Fraunhofer)
se situe dans le plan image de la source.



Conclusion.

au départ la diffraction est une à une limite à
l'optiq géométriq. C'est en fait aussi une techniq.
qui a bcp d'intérts et des utilisaor variées, par ex.
celles dues ds ce montage.

